

---

# Aufbau und Regelung eines Ballbots

---

**Florian Müller**

**Markus Lamprecht**

**Michael Suffel**

Projektseminar – 16. Februar 2018

Betreuer: Dr.-Ing. Eric Lenz



TECHNISCHE  
UNIVERSITÄT  
DARMSTADT

REGELUNGSTECHNIK *rtm*  
UND MECHATRONIK



---

## Aufgabenstellung

---

Für schriftliche Arbeiten (Pro-/Projektseminar, Studien-, Bachelor-, Master-, Diplomarbeiten, etc.) soll Studierenden ein L<sup>A</sup>T<sub>E</sub>X-Dokument zur Verfügung gestellt werden, das die Vorgaben aus den *Richtlinien zur Anfertigung von Studien- und Diplomarbeiten* [?] umsetzt. Die Dokumentation soll die Funktionen des Dokumentes beschreiben und Hinweise zu ihrer Anwendung geben.

Grundlage ist die tudreport-Klasse. Die damit erstellten Arbeiten müssen sowohl zum Ausdrucken geeignet sein als auch für die Bildschirmdarstellung und die elektronische Archivierung als PDF-Datei.

Beginn: 16. Oktober 2017

Ende: 16. Februar 2018

Seminar: 16. Februar 2018

---

Prof. Dr.-Ing. Ulrich Konigorski

---

Dr.-Ing. Eric Lenz

Technische Universität Darmstadt  
Institut für Automatisierungstechnik und Mechatronik  
Fachgebiet Regelungstechnik und Mechatronik  
Prof. Dr.-Ing. Ulrich Konigorski

Landgraf-Georg-Straße 4  
64283 Darmstadt  
Telefon 06151/16-4167  
[www.rtm.tu-darmstadt.de](http://www.rtm.tu-darmstadt.de)





---

## **Erklärung**

---

Hiermit versichere ich, dass ich die vorliegende Arbeit ohne Hilfe Dritter und nur mit den angegebenen Quellen und Hilfsmitteln angefertigt habe. Alle Stellen, die aus den Quellen entnommen wurden, sind als solche kenntlich gemacht. Diese Arbeit hat in gleicher oder ähnlicher Form noch keiner Prüfungsbehörde vorgelegen.

Darmstadt, den 16. Februar 2018

---

Florian MüllerMarkus LamprechtMichael Suffel

---

## Kurzfassung

---

Das  $\text{\LaTeX}$ -Dokument `sada_tudreport` ist eine Vorlage für schriftliche Arbeiten (Proseminar-, Projektseminar-, Studien-, Bachelor-, Master- und Diplomarbeiten, etc.) am Institut für Automatisierungstechnik der TU Darmstadt. Das Layout ist an die *Richtlinien zur Anfertigung von Studien- und Diplomarbeiten* [?] angepasst und durch Modifikation der Klasse `tudreport` realisiert, so dass in der Arbeit die gewohnten  $\text{\LaTeX}$ -Befehle benutzt werden können. Die vorliegende Anleitung beschreibt die Klasse und gibt grundlegende Hinweise zum Verfassen wissenschaftlicher Arbeiten. Sie ist außerdem ein Beispiel für den Aufbau einer Studien-, Bachelor-, Master- bzw. Diplomarbeit.

**Schlüsselwörter:** Studienarbeit, Bachelorarbeit, Masterarbeit, Diplomarbeit, Vorlage,  $\text{\LaTeX}$ -Klasse

---

## Abstract

---

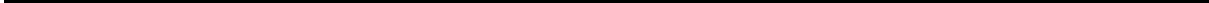
The  $\text{\LaTeX}$  document `sada_tudreport` provides a template for student's research reports and diploma theses ("Proseminar-, Projektseminar-, Studien-, Bachelor-, Master- und Diplomarbeiten") at the Institute of Automatic Control, Technische Universität Darmstadt. The layout is adapted to the "*Richtlinien zur Anfertigung von Studien- und Diplomarbeiten*" [?] and is implemented by modification of the standard `tudreport` class, so that common  $\text{\LaTeX}$  commands can be used in the text. This manual describes the class and dwells on general considerations on how to write scientific reports. Additionally, it is an example for the structure of a thesis.

**Keywords:** Research reports, diploma theses, template,  $\text{\LaTeX}$  class

---

# Inhaltsverzeichnis

<b>Symbole und Abkürzungen</b>	<b>vii</b>
<b>1. Modellbildung und Regelung</b>	<b>1</b>
1.1. Model . . . . .	1
1.2. Energien . . . . .	1
1.3. Bewegungsgleichungen . . . . .	3
1.4. Zustandsraumdarstellung . . . . .	3
<b>A. Parameterliste</b>	<b>5</b>
<b>Literaturverzeichnis</b>	<b>7</b>





---

# Symbole und Abkürzungen

## Lateinische Symbole und Formelzeichen

Symbol	Beschreibung	Einheit
$I$	Strom	A
$R$	Widerstand	$\Omega$
$U$	Spannung	V

## Griechische Symbole und Formelzeichen

Symbol	Beschreibung	Einheit
$\Psi$	Datenmatrix	
$\sigma$	Standardabweichung	
$\omega$	Kreisfrequenz	$s^{-1}$

## Abkürzungen

Kürzel	vollständige Bezeichnung
Dgl.	Differentialgleichung
LS	Kleinste Quadrate ( <i>Least Squares</i> )
PRBS	Pseudo-Rausch-Binär-Signal ( <i>Pseudo Random Binary Signal</i> )
ZVF	Zustandsvariablenfilter



---

# 1 Modellbildung und Regelung

---

## 1.1 Model

---

Für die Modellbildung wird der dreidimensionale Ballbot in drei unabhängige planare Modelle aufgeteilt. In jeder Ebene wird das System vereinfacht als Zusammensetzung von drei starren Körpern bestehend aus einer Kugel, ein virtuelles Rad und einen Körper betrachtet und besitzt somit zwei Freiheitsgrade, die sich in eine Translation bzw. Rotation des Balles und eine Rotation des Körpers aufteilen lassen[?].

Um ein möglichst vereinfachte Modelle der drei Ebenen zu erhalten, werden weitere Annahmen getroffen, die im Folgenden erläutert werden:

- Kein Schlupf: Das System besitzt zwei Kontaktpunkte, in denen ein Schlupf auftreten kann. Hierzu zählt zum einen der Kontaktpunkt von Ball und Boden und zum zweiten der Kontaktpunkt zwischen den Rädern und dem Ball. Damit dies gewährleistet wird, müssen die angelegten Drehmomente begrenzt werden.
- Keine Reibung: Der einzige Vorgang im System, bei dem die Reibung nicht vernachlässigt wird, ist bei der Rotation des Balles um die  $z$ -Achse. Bei den anderen Vorgängen, bei der in der Realität auch Reibung auftritt, wird im Modell vernachlässigt.
- Keine Deformation: Bei dem eingesetzten Ball handelt es sich nicht um eine hohle Stahlkugel, sondern um ein elastischen, mit Luft befüllbaren Ball. Deshalb wird die Deformation des Balles in der Modellbeschreibung nicht mit einbezogen, um die Komplexität gering zu halten.
- Schnelle Motorendynamik: Für die Gleichgewichtsstabilisierung des Roboters ist es wichtig, dass die Motoren eine schneller Dynamik als das System aufweisen.
- Horizontale Bewegung: Das System wird für die horizontale Bewegung auf einer flachen Oberfläche ohne starken Neigungen ausgelegt. Somit wird die vertikale Bewegung vernachlässigt.

Mit den getroffenen Annahmen ist es möglich, das Modell des Ballbots aufzustellen.

---

## 1.2 Energien

---

Für das Aufstellen der Bewegungsgleichungen des Systems wird der Lagrange Ansatz angewendet. Dazu müssen im Voraus die potentiellen und kinetischen Energien der einzelnen Körper aufgestellt werden. Dabei ist darauf zu achten, dass die Formeln der potentiellen und kineti-

schen Energien für die  $yz$ - und der  $xz$ -Ebene identisch sind und dagegen sich die Energie  $xy$ -Ebene unterscheiden. Deshalb werden im Folgenden die Formeln der  $yz$  und  $xy$ -Ebenen angegeben.

Zunächst werden die kinetischen und potentiellen Energien des Balles in den entsprechenden Ebenen betrachten. Für die kinetische Energie werden folgenden Formeln der jeweiligen Ebenen angegeben.

$$T_{S,yz} = \frac{1}{2} \cdot m_S \cdot (r_S \cdot \dot{\varphi}_x)^2 + \frac{1}{2} \cdot I_S \cdot \dot{\varphi}_x^2 \quad (1.1)$$

$$T_{S,xy} = \frac{1}{2} \cdot I_S \cdot \dot{\varphi}_z^2 \quad (1.2)$$

Da der Ursprung des Weltkoordinatensystems in den Mittelpunkt des Balles gelegt wird, besitzt das System sowohl in der  $yz$  als auch in der  $yx$  Ebene keine potentielle Energie.

$$V_{S,yz} = 0 \quad (1.3)$$

Die kinetischen Energien des virtuellen Rades der jeweiligen Ebene werden mit den folgenden Formeln angegeben.

$$T_{W,yz} = \frac{1}{2} \cdot m_W \cdot ((r_S \cdot \dot{\varphi}_x)^2 + 2 \cdot (r_S + r_W) \cdot \cos(\vartheta_x) \cdot \dot{\vartheta}_x \cdot (r_S \cdot \dot{\varphi}_x) + (r_S + r_W)^2 \cdot \dot{\vartheta}_x^2) + \frac{1}{2} \cdot I_W \cdot \left( \frac{r_S}{r_W} \cdot (\dot{\varphi}_x - \dot{\vartheta}_x) - \dot{\vartheta}_x \right)^2 \quad (1.4)$$

$$T_{W,xy} = \frac{1}{2} \cdot I_W \cdot \dot{\Psi}_z^2 \quad (1.5)$$

Die potentielle Energie des virtuellen Rades in der  $yz$  Ebene kann folgendermaßen berechnet werden.

$$V_{W,yz} = m_W \cdot g \cdot (r_S + r_W) \cdot \cos(\vartheta_x) \quad (1.6)$$

Die kinetischen Energien für die  $yz$  und der  $xy$  Ebene für den Roboterkörper sind ähnlich der des virtuellen Rades und werden folgendermaßen berechnet.

$$T_{B,yz} = \frac{1}{2} \cdot m_A \cdot ((r_S \cdot \dot{\varphi}_x)^2 + 2 \cdot l \cdot \cos(\vartheta_x) \cdot \dot{\vartheta}_x \cdot (r_S \cdot \dot{\varphi}_x) + l^2 \cdot \dot{\vartheta}_x^2) + \frac{1}{2} \cdot I_A \cdot \dot{\vartheta}_x^2 \quad (1.7)$$

$$T_{B,xy} = \frac{1}{2} \cdot I_{W,xy} \cdot \dot{\Psi}_z^2 \quad (1.8)$$

Auch die dazugehörige potentielle Energie ähnelt der des virtuellen Rades. Der Unterschied liegt zum einem im Gewicht des Körpers  $m_B$  und der Höhe  $l$  von Ballmittelpunkt zum Schwerpunkt des Roboteraufbaus.

$$V_{B,yz} = m_A \cdot g \cdot l \cdot \cos(\vartheta_x) \quad (1.9)$$

---

### 1.3 Bewegungsgleichungen

---

(matlab) Mit den kinetischen und potentiellen Energien können nun die Bewegungsgleichungen des Ballbots für die jeweiligen Ebenen mit Hilfe der LAGRANGESchen Gleichungen zweiter Art hergeleitet werden. Als Beispiel wird hier die Herleitung für die  $yz$ -Ebene angegeben. Zunächst wird aus den einzelnen Summen der kinetischen und potentiellen Energien die LAGRANGESche Funktion gebildet.

$$L = T - V \quad (1.10)$$

Die Bewegungsgleichungen für den Ballbot resultieren aus dem Lösen der LAGRANGESchen Gleichungen zweiter Art.

$$\frac{d}{dt} \left( \frac{\partial L}{\partial \dot{\vec{q}}} \right) - \frac{\partial L}{\partial \vec{q}} = \vec{f}_{NP,yz} \quad (1.11)$$

Mit mathematische Umformungen können diese Bewegungsgleichungen in eine Matrixform überführt werden.

$$\begin{aligned} \mathbf{M}_x &= \begin{bmatrix} m_{tot} \cdot r_S^2 + I_S + \left(\frac{r_S}{r_W}\right)^2 \cdot I_W & -\frac{r_S}{r_W^2} \cdot r_{tot} \cdot I_W + \gamma \cdot r_S \cdot \cos \vartheta_x m_{tot} \\ -\frac{r_S}{r_W^2} \cdot r_{tot} \cdot I_W + \gamma \cdot r_S \cdot \cos \vartheta_x m_{tot} & \frac{r_S^2}{r_W^2} \cdot I_W + I_B + m_b \cdot l^2 + m_W \cdot r_{tot}^2 \end{bmatrix}, \quad \mathbf{M}_x \in \mathbb{R}^{2 \times 2} \\ \mathbf{C}_x &= \begin{bmatrix} -r_S \cdot \gamma \cdot \sin \vartheta_x \cdot \dot{\vartheta}_x^2 \\ 0 \end{bmatrix}, \quad \mathbf{C}_x \in \mathbb{R}^{2 \times 1} \\ \mathbf{G}_x &= \begin{bmatrix} 0 \\ -g \sin \theta_x \cdot \gamma \end{bmatrix}, \quad \mathbf{G}_x \in \mathbb{R}^{2 \times 1} \end{aligned} \quad (1.13)$$

---

### 1.4 Zustandsraumdarstellung

---

Bei den hergeleiteten Bewegungsgleichungen handelt es sich um nichtlineare Funktionen. Um ein Zustandsraummodell zu erhalten, müssen zunächst die Zustände bzw. der Zustandsvektor festgelegt werden. Als Beispiel wird auch hier die  $yz$ -Ebene betrachtet. Mit  $\vec{x} = [\varphi_x, \vartheta_x, \dot{\varphi}_x, \dot{\vartheta}_x]$  können die nichtlinearen Funktionen in folgende Form überführt werden.

$$\vec{x} = \begin{bmatrix} \mathbf{q} \\ \dot{\vec{q}} \end{bmatrix} = \begin{bmatrix} \dot{\vec{q}} \\ \mathbf{M}_x^{-1} \cdot (\mathbf{NP} - (\mathbf{C}_x + \mathbf{G}_x)) \end{bmatrix} \quad (1.14)$$



---

## A Parameterliste

Parameter	Variable	Wert	Quelle
Masse Ball	$m_S$	0,3280 kg	Gemessen
Masse Motor	$m_M$	0,0820 kg	Datenblatt
Masse omnidirektionales Rad	$m_{OW}$	0.0520 kg	Gemessen
Masse virtuelles Rad	$m_W$	0,4020 kg	Gemessen
Masse Roboterkörper (mit Motoren/Räder)	$m_B$	1,603 kg	Gemessen
Masse Roboterkörper (ohne Motoren/Räder)	$m_B$	1,2010 kg	Gemessen
Radius Ball	$r_S$	0,0800 m	Datenblatt
Radius virtuelles Rad	$r_W$	0,0300 m	Datenblatt
Radius Körper	$r_B$	0,0703 m	Gemessen
Höhe Massenschwerpunkt	$l$	? m	SolidEdge
Höhe Körper	$h$	? m	SolidEdge
Trägheitsmoment Ball	$I_S$	0,0013 $kgm^2$	Berechnet
Trägheitsmoment Rotor	$I_M$	3.8e-8 $kgm^2$	Datenblatt
Trägheitsmoment omnidirektionales Rad	$I_{OW}$	2,34e-5 $kgm^2$	Berechnet
Trägheitsmoment virtuelles Rad (yz-Ebene)	$I_{W,yz}$	0.00357 $kgm^2$	Berechnet
Trägheitsmoment virtuelles Rad (xz-Ebene)	$I_{W,xz}$	0.00357 $kgm^2$	Berechnet
Trägheitsmoment virtuelles Rad (xy-Ebene)	$I_{W,xy}$	0.0143 $kgm^2$	Berechnet
Trägheitsmoment Körper (yz-Ebene)	$I_{B,yz}$	0.0880 $kgm^2$	SolidEdge
Trägheitsmoment Körper (xz-Ebene)	$I_{B,xz}$	0.0880 $kgm^2$	SolidEdge
Trägheitsmoment Körper (xy-Ebene)	$I_{B,xy}$	0.0070 $kgm^2$	SolidEdge
Übersetzungsverhältnis	$i$	353,5	Datenblatt
Erdbeschleunigung	$g$	9,81 $\frac{m}{s^2}$	Datenblatt



---

# Literaturverzeichnis